

где  $k_1$  — отношение расхода поступающего в камеру газа к расходу через сопло.

Как следует из (25) и (26), чем больше относительный расход газов, поступающих в полузамкнутый объем от постороннего источника, тем меньше допустимое значение  $\frac{T_{к}}{T_{ф}}$ .

Таким образом, графоаналитический частотный метод определения границы устойчивости дает так же, как и известные аналитические методы [2, 3], точное решение для всех возможных значений параметров пороха, отличаясь вместе с тем наглядностью и малой трудоемкостью.

В тех случаях, когда применима аппроксимация передаточной функции скорости горения дробно-рациональным выражением (7), может быть использован приближенный критерий устойчивости (10).

При  $K_u < \nu$  и  $k < 0,8 k_{пр}$  результаты расчета по приближенному критерию хорошо согласуются с точными результатами.

Предложенные методы позволяют также учитывать влияние на устойчивость неполноты горения пороха при низком давлении, докритического истечения из сопла и поступления в полузамкнутый объем газа от постороннего источника, если соблюдается условие малости отклонений давления, при котором справедливы линеаризованные выражения (16), (17) и (26) для коэффициента усиления  $\psi$ .

Поступила в редакцию  
11/III 1969

#### ЛИТЕРАТУРА

1. В. М. Бобылев. ФГВ, 1970, 6, 4.
2. Я. Б. Зельдович. ПМТФ, 1963, 1.
3. Б. В. Новожилов. ФГВ, 1967, 3, 1.
4. С. Д. Гришин, И. И. Подтынков. ФГВ, 1967, 3, 1.
5. В. В. Солодовников и др. Теория автоматического регулирования. Кн. 1. М., «Машиностроение», 1967.
6. Н. Т. Кузовков. Теория автоматического регулирования, основанная на частотных методах. М., Оборонгиз, 1960.
7. R. Sehgal, L. Stgand. AIAAJ, 1964, 2, 4.
8. А. А. Зенин. ФГВ, 1966, 2, 3.
9. А. А. Зенин, О. И. Лейпунский и др. Докл. АН СССР, 1966, 169, 3.
10. К. К. Андреев. Термическое разложение и горение взрывчатых веществ. М., «Наука», 1966.

УДК 536.46

### ОБ УСТОЙЧИВОСТИ ПРОЦЕССА ГОРЕНИЯ В РАКЕТНОЙ КАМЕРЕ

Ю. И. Медведев  
(Томск)

Если показатель в степенном законе скорости горения топлива  $\nu$  больше единицы, то процесс горения в ракетной камере неустойчив. Стремление увеличить линейную скорость горения и повысить калорийность состава чаще всего ведет к тому, что  $\nu$  возрастает и может ока-

заться больше единицы. Ниже показана возможность использования топлив с показателем  $\nu > 1$  в сочетании с другим топливом и получен критерий устойчивости горения такой пары.

Рассмотрим устойчивость работы ракетного двигателя, в камере сгорания которого находится заряд из двух типов топлив с горящей поверхностью  $S = S_1 + S_2$  и с различными зависимостями стационарной скорости горения от давления

$$u_1(p) = A_1 p^{\nu_1}; \quad u_2(p) = A_2 p^{\nu_2}.$$

Будем считать вначале, что процессы в камере изменяются так медленно, что тепловые слои топлив в каждый момент времени успевают подстраиваться к условиям горения. Такое допущение приводит к классической постановке задачи.

Запишем уравнение изменения давления в ракетной камере

$$\frac{W}{f} \frac{dp}{dt} = G_+ - G_- \quad (1)$$

где  $W$  — объем камеры;  $p$  — давление;  $f$  — сила пороха;  $t$  — время.

Секундный приход газа в камеру определяется выражением

$$G_+ = S_1 \delta u_1(p) + S_2 \delta u_2(p). \quad (2)$$

Для простоты плотность топлива  $\delta$  принята одинаковой. Расход газа определяется законом истечения в критическом режиме

$$G_- = \Gamma \sigma_* p, \quad (3)$$

где  $\Gamma$  — коэффициент расхода;  $\sigma_*$  — площадь критического сечения сопла. С учетом (2) и (3) уравнение (1) имеет вид

$$\frac{dp}{dt} = \frac{S_1 \delta f}{W} u_1(p) + \frac{S_2 \delta f}{W} u_2(p) - \frac{\Gamma \delta_* p f}{W}. \quad (4)$$

Введем в рассмотрение время релаксации камеры сгорания

$$\tau_k = \frac{W}{\Gamma \sigma_* f}$$

и величины, характеризующие стационарный режим  $p_1$ ,  $u_{11}$ ,  $u_{21}$ . Последние определяются уравнениями

$$\frac{dp}{dt} = 0; \quad S_1 u_{11}(p) + S_2 u_{21}(p) = \frac{\Gamma \sigma_* p_1}{\delta}. \quad (5)$$

Тогда уравнение (4) переписывается следующим образом:

$$\frac{dp}{dt} = -\frac{p}{\tau_k} + \frac{p_1}{\tau_k} \left[ \frac{S_1 u_1(p) + S_2 u_2(p)}{S_1 u_{11} + S_2 u_{21}} \right]. \quad (6)$$

Следуя Я. Б. Зельдовичу [1], исследуем режим, близкий к стационарному, методом малых возмущений.

Пусть

$$u_1 = u_{11} + u_2' e^{\omega t}; \quad u_2 = u_{21} + u_2'' e^{\omega t}; \quad p = p_1 + p_2 e^{\omega t}. \quad (7)$$

Тогда

$$\begin{aligned} u_1(p) &= u_{11} + \left( \frac{d u_1}{d p} \right)_1 p_2 e^{\omega t}, \\ u_2(p) &= u_{21} + \left( \frac{d u_2}{d p} \right)_1 p_2 e^{\omega t} \end{aligned} \quad (8)$$

и уравнение (6) примет вид

$$\omega p_2 = -\frac{p_2}{\tau_k} + \frac{p_2}{\tau_k} \left[ \frac{S_1 \left( \frac{d u_1}{d p} \right)_1 + S_2 \left( \frac{d u_2}{d p} \right)_1}{S_1 u_{11} + S_2 u_{21}} \right]. \quad (9)$$

Если ввести общепринятые обозначения

$$\begin{aligned} \nu_1 &= \frac{p_1}{u_{11}} \left( \frac{d u_1}{d p} \right)_1 = \left( \frac{\partial \ln u_1}{\partial \ln p} \right)_{T_0 = \text{const}}, \\ \nu_2 &= \frac{p_1}{u_{21}} \left( \frac{d u_2}{d p} \right)_1 = \left( \frac{\partial \ln u_2}{\partial \ln p} \right)_{T_0 = \text{const}}, \end{aligned} \quad (10)$$

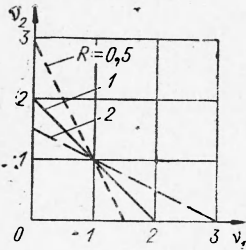
то величина  $\omega$  найдется из выражения

$$\omega = -\frac{1}{\tau_k} \left[ \frac{1 - \nu_1 + R(1 - \nu_2)}{1 + R} \right], \quad (11)$$

где  $R = \frac{S_2 u_{21}}{S_1 u_{11}}$ . Для устойчивости стационарного режима необходимо, чтобы выполнялось условие  $\omega < 0$ , а это будет, если

$$\frac{\nu_1 + R \nu_2}{1 + R} < 1. \quad (12)$$

Отношение  $S_2 u_{21} / S_1 u_{11} = R$  при одинаковых плотностях топлива  $\delta$  есть отношение массовых скоростей газоприхода и в зависимости от стационарной скорости горения и величины горячей поверхности может принимать самые различные значения, оставаясь всегда положительной. Таким образом, устойчивость режима при данном давлении будет зависеть от соотношения скоростей газоприходов и величин показателей  $\nu_1$  и  $\nu_2$ . Область устойчивости на рисунке расположена ниже прямой соответствующей различным  $R$ , причем все эти прямые пересекаются в точке  $\nu_1 = \nu_2 = 1$ . Видно, что в рассмотренном двигателе возможно применение одного из топлив с показателем  $\nu$ , существенно большим единицы.



Перейдем к рассмотрению такого режима работы двигателя, когда время релаксации камеры мало и становятся существенными эффекты, связанные с инерционностью зоны горения топлив. Для не слишком высоких частот выражение нестационарной скорости горения получено Я. Б. Зельдовичем и имеет вид

$$[u = u_1 \left[ 1 + \nu k_T (T_k - T_0) \frac{\tau_n}{p} \frac{d p}{d t} \right], \quad (13)$$

где  $u_1$  — стационарная скорость горения, подчиняющаяся закону  $u_1 = A p^\nu$ ;  $k_T = \left( \frac{\partial \ln u}{\partial \ln T_0} \right)_{p = \text{const}}$  — температурный коэффициент скорости горения;  $\tau_n = \frac{x}{u_1^2}$  — время релаксации прогретого слоя топлива;  $T_k, T_0$  — соответственно температура поверхности и начальная температура топлива;  $x$  — коэффициент температуропроводности топлива.

Вновь обратимся к уравнению (1) и с учетом (13) будем иметь

$$\frac{d p}{d t} = \frac{f_0}{W} (S_1 A_1 p^{\nu_1} + S_2 A_2 p^{\nu_2}) +$$

$$+ \frac{f}{W} \frac{\delta}{p} \frac{dp}{dt} [S_1 A_1 p^{\nu_1} \nu_1 B_1 \tau_{n1} + S_2 A_2 p^{\nu_2} B_2 \tau_{n2} \nu_2] - \frac{p}{\tau_k}, \quad (14)$$

где обозначено для краткости

$$B = k_r (T_k - T_0).$$

Если  $dp/dt=0$ , то равновесное давление в камере  $p_1$  определится соотношением

$$p_1 = \frac{\delta}{\Gamma \sigma_*} (S_1 A_1 p_1^{\nu_1} + S_2 A_2 p_1^{\nu_2}). \quad (15)$$

Выберем это давление в качестве масштаба измерения давления, обозначив  $P = \frac{p}{p_1}$ , и перепишем (14) в виде

$$\tau_k \frac{dP}{dt} = P^{\nu_1} \left[ \frac{1 + a p_1^{\nu_2 - \nu_1} P^{\nu_2 - \nu_1}}{1 + a p_1^{\nu_2 - \nu_1}} \right] - P + \left[ \frac{\nu_1 B_1 \tau_{n1} + a \nu_2 B_2 \tau_{n2} p_1^{\nu_2 - \nu_1} P^{\nu_2 - \nu_1}}{1 + a p_1^{\nu_2 - \nu_1}} \right] \frac{P^{\nu_1}}{P} \frac{dP}{dt}, \quad (16)$$

где

$$a = \frac{S_2 A_2}{S_1 A_1}.$$

Будем рассматривать наиболее интересный для практики случай, когда  $\tau_k$  мало. В теории дифференциальных уравнений показано, что в этом случае решение уравнения (16) будет в пределе ( $\tau_k \rightarrow 0$ ) стремиться к решению вырожденного уравнения

$$F = \frac{P^{\nu_1} \left[ \frac{1 + a p_1^{\nu_2 - \nu_1} P^{\nu_2 - \nu_1}}{1 + a p_1^{\nu_2 - \nu_1}} \right] - P}{1 - P^{\nu_1 - 1} \left[ \frac{\nu_1 B_1 \frac{\tau_{n1}}{\tau_k} + a \nu_2 B_2 \frac{\tau_{n2}}{\tau_k} p_1^{\nu_2 - \nu_1} P^{\nu_2 - \nu_1}}{1 + a p_1^{\nu_2 - \nu_1}} \right]} = 0. \quad (17)$$

Причем решение вырожденного уравнения будет устойчивым, если

$$\left( \frac{\partial F}{\partial P} \right)_{P=1} < 0.$$

Очевидно, конечные значения  $F$  будут иметь место только в случае, когда знаменатель (17) не обращается в нуль. Это условие дает единственный корень вырожденного уравнения  $P=1$ , что в точности совпадает с известным соотношением Борди для равновесного давления.

Используя условие (17), и имея в виду, что

$$a p_1^{\nu_2 - \nu_1} = \frac{S_2 u_{21}}{S_1 u_{11}} = R,$$

будем иметь условие устойчивости стационарного режима

$$\frac{\nu_1 - 1 + R(\nu_2 - 1)}{1 - \gamma_1 + R(1 - \gamma_2)} < 0, \quad (18)$$

где

$$\gamma_1 = \nu_1 k_{t1} (T_k - T_0)_1 \frac{\tau_{n1}}{\tau_k}; \quad \gamma_2 = \nu_2 k_{t2} (T_k - T_0)_2 \frac{\tau_{n2}}{\tau_k}.$$

Таким образом, если учитывать нестационарность зоны горения, то условие устойчивости (18) требует, чтобы числитель и знаменатель имели разные знаки. При положительном знаменателе условие устойчивости полностью совпадает с ранее полученным условием (12), в чем легко убедиться.

Для известных топлив  $\nu_1$  и  $\nu_2$  обычно меньше единицы, так что условие (12) выполняется. При этом устойчивость работы двигателя к малым возмущениям определяется неравенством

$$1 - \gamma_1 + R(1 - \gamma_2) > 0 \quad (19)$$

и в сильной степени оказывается зависящей от соотношения между временами релаксации топлив и камеры. По мере выгорания топлива  $\tau_k$  растет и неравенство (19) только усиливается. Повышение рабочего давления в камере сгорания и начальной температуры топлив способствует улучшению устойчивости.

*Поступила в редакцию  
20/VI 1970*

#### ЛИТЕРАТУРА

1. Я. Б. Зельдович. ПМТФ, 1963, 1.

УДК 536.46 + 662.62

### ИССЛЕДОВАНИЕ ПРОЦЕССА ГОРЕНИЯ ТВЕРДОГО ТОПЛИВА В КОМБИНИРОВАННОМ РАКЕТНОМ ДВИГАТЕЛЕ

*В. В. Воробей  
(Москва)*

Обзор современных исследований процесса горения комбинированных систем показывает, что при использовании аналогии Рейнольдса между массопереносом, теплотеплопереносом и переносом количества движения, параметра массообмена Сполдинга и эмпирических данных по пограничному слою можно получить математическую модель для скорости горения твердого компонента топлива, которая удовлетворительно согласуется с имеющимися данными для простых «гибридных» систем в области малых расходов окислителя [1—4].

Однако лимитируемое диффузией сгорание в турбулентном пограничном слое требует некоторой модификации классической модели диффузионного пламени. Наблюдения структуры пламени и тот факт, что скорости реакций конечны, приводят к заключению, что химические реакции происходят в тонкой зоне, где температура и концентрация компонентов претерпевают резкие изменения. В связи с этим исследование кинетики зоны горения в турбулентном пограничном слое приобретает